



# INFORMATICA CUANTICĂ

**Acad. AŞM, Profesor univ. Sidorenko Anatolie**

Institutul de Inginerie Electronica  
și Nanotehnologii al UTM

E-mail: [sidorenko.anatoli@gmail.com](mailto:sidorenko.anatoli@gmail.com)

[anatolie.sidorenko@mib.utm.md](mailto:anatolie.sidorenko@mib.utm.md)

Tel./viber +37369513294



## Тема 2. Кубиты: свойства и математическое описание состояний.

2.1. Биты и кубиты. 2.2. Кубит в гильбертовом векторном пространстве состояний. 2.3. Квантовая когерентность векторов состояния.

### 1. Биты и кубиты

Словами "бит" и "кубит" обозначают как единицы классической и квантовой информации, так и классические и квантовые системы, являющиеся носителями 1 бита (кубита) информации.

В современных классических компьютерах существуют биты памяти, хранящие информацию, и управляемые биты в "схемах", обрабатывающих информацию. В магнитной памяти ЭВМ битом является намагниченная область магнитной пленки: двум направлениям намагниченности соответствуют значения "0" и "1" бит информации. Переключение "0"→"1" или "1"→"0" требует преодоления энергетического барьера между двумя состояниями намагниченной пленки; именно наличие барьера обеспечивает надежность хранения информации.

В оперативной памяти ЭВМ носителем информации является триггерная транзисторная схема. В описанных ячейках памяти состояния "0" и "1" разделены энергетическим барьером. Более того, состояния с минимальной энергией являются атTRACTорами, к которым система эволюционирует из множества состояний, окружающих атTRACTор. Надежность хранения информации в классических компьютерах обеспечивается наличием энергетического барьера, который разделяет два атTRACTора, представляющих состояния "0" и "1".

## Тема 2. Кубиты: свойства и математическое описание состояний.

### 2.1. Биты и кубиты.

#### 1. Биты и кубиты

Примером управляемого бита, используемого в системах обработки информации в ЭВМ является инвертор, построенный на двух транзисторах (рис. 1). В инверторе входное напряжение  $V_{in}$  "управляет" напряжением  $V_{out}$  на выходе: если  $V_{in}$  соответствует значению "0" ("1"), то  $V_{out}$  — "1" ("0"). Инвертор выполняет логическую операцию НЕ (NOT). При этом используется нелинейное функциональное соотношение

$$V_{out} = f(V_{in}),$$

определенное свойствами транзисторов и их связями в схеме.

Базовым элементом квантового компьютера (носителем квантовой информации) является квантовый бит — кубит. В системах квантовой связи информация передается путем физического переноса кубита — носителя информации или методом телепортации квантового состояния кубита.

В качестве кубита может быть избрана любая квантовая система с двумя состояниями, характеризуемыми ортогональными волновыми функциями  $|\varphi_0\rangle$  и  $|\varphi_1\rangle$ . Удобным примером кубита является ядерный (или электронный) спин  $I = 1/2$ , который в постоянном внешнем магнитном поле  $B$  имеет два уровня энергии:

$$E_0 = -\frac{1}{2}\hbar\gamma B, \quad E_1 = \frac{1}{2}\hbar\gamma B$$

соответствующих направлениям спина вдоль поля или против поля (рис. 2).

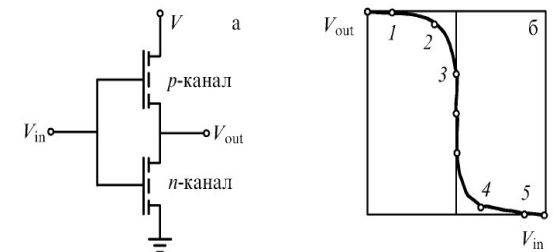


Рис. 1. Схема классического инвертора на двух полевых транзисторах (а) и передаточная характеристика инвертора (б). Состояния "0" и "1" на входе ( $V_{in}$ ) и выходе ( $V_{out}$ ) кодируются значениями электрического напряжения.

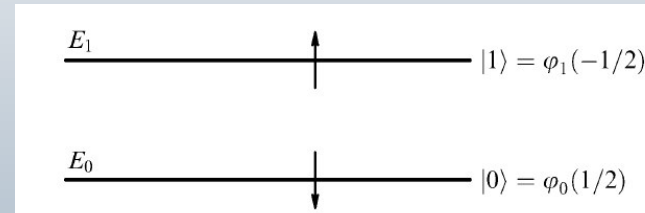


Рис. 2. Схема квантового бита — кубита. Логические состояния  $|0\rangle$  и  $|1\rangle$  кубита соответствуют собственным функциям энергии спина  $= 1/2$  или проекции  $I_z$  в постоянном магнитном поле  $B$ .

## Тема 2. Кубиты: свойства и математическое описание состояний.

### 2.1. Биты и кубиты.

#### 1. Биты и кубиты. Варианты выбора состояний кубита

Если основное состояние иона вырождено по спину  $S = 1/2$ , в постоянном магнитном поле  $B$  оно расщепляется на два спиновых подуровня  $|\pm 1/2\rangle$ , которые можно выбрать в качестве состояний  $|0\rangle$  и  $|1\rangle$  кубита. Управлять переходами  $|+ 1/2\rangle \leftrightarrow |- 1/2\rangle$  можно с помощью совокупного действия полей двух лазеров, настроенных для работы по так называемой рамановской схеме. Разность частот лазеров в рамановской схеме равна частоте перехода между подуровнями  $|\pm 1/2\rangle$ : фотон большей частоты (лазера накачки) поглощается при переходе с уровня  $|0\rangle$  на промежуточный виртуальный уровень с энергией вблизи вспомогательного уровня  $|2\rangle$ , а на меньшей частоте стоксова лазера происходит вынужденное излучение фотона при переходе с виртуального уровня на уровень  $|1\rangle$ .

В других популярных реализациях состояниями кубита выбирают орбитальные состояния электрона в квантовых ямах или квантовых точках. Состояния "0" и "1" электрона в квантовых точках могут быть разделены потенциальным барьером, как в реализации классического бита. Тем не менее в квантовом случае состояние "1" сохраняет неустойчивость по отношению к распаду " $1 \rightarrow 0$ " благодаря возможности туннельного перехода сквозь барьер. Управление динамикой кубита выполняется лазерными импульсами через возбужденные уровни энергии электрона.

## Тема 2. Кубиты: свойства и математическое описание состояний.

### 2.1. Биты и кубиты.

#### 1. Биты и кубиты. Варианты выбора состояний кубита

Большой интерес вызывают реализации кубитов с использованием сверхпроводниковых структур. В зарядовом сверхпроводниковом кубите состояниям  $|0\rangle$  и  $|1\rangle$  соответствуют отсутствие и наличие заряда одной куперовской пары на металлической сверхпроводящей квантовой точке. Состояниям  $|0\rangle$  и  $|1\rangle$  кубита в сквиде (сверхпроводниковое кольцо с переходами Джозефсона в магнитном поле) соответствуют сверхпроводниковые токи в противоположных направлениях .

Большое число экспериментов выполнено на кубите – одиночном фотоне. Любые два состояния фотона с ортогональными поляризациями могут быть выбраны как состояния  $|0\rangle$  и  $|1\rangle$  кубита. Возможен также выбор двух фотонных состояний, различающихся фазой  $\pi$ . Системы из фотонного и атомного кубитов в резонаторе составляют базисную систему для экспериментов в разделе квантовой оптики, называемой резонаторной квантовой электродинамикой (cavity QED).

## Тема 2. Кубиты: свойства и математическое описание состояний.

### 2.2. Кубит в гильбертовом векторном пространстве состояний.

#### 2.2. Кубит в гильбертовом векторном пространстве состояний

Выше приведены примеры выбора двух ортонормированных состояний различных квантовых систем в качестве базисных состояний  $|0\rangle$  и  $|1\rangle$  кубита. По этому базису можно разложить любое нормированное к единице состояние  $|\varphi\rangle$  кубита:

$$|\varphi\rangle = a|0\rangle + b|1\rangle, \quad |a|^2 + |b|^2 = 1. \quad (1)$$

Состояние (1) выражает принцип суперпозиции квантовой механики как линейной теории: если состояния  $|0\rangle$  и  $|1\rangle$  суть решения уравнения Шрёдингера для системы, то любая суперпозиция этих решений также есть решение уравнения.

Множество векторов состояний  $|\varphi\rangle$  образует двумерное векторное пространство Гильbertа кубита. Компоненты двумерных векторов  $|0\rangle$ ,  $|1\rangle$ ,  $|\psi\rangle$  записываются в виде столбцов:

$$|0\rangle = \begin{vmatrix} 1 \\ 0 \end{vmatrix}, \quad |1\rangle = \begin{vmatrix} 0 \\ 1 \end{vmatrix}, \quad |\psi\rangle = a \begin{vmatrix} 1 \\ 0 \end{vmatrix} + b \begin{vmatrix} 0 \\ 1 \end{vmatrix} = \begin{vmatrix} a \\ b \end{vmatrix} \quad (2)$$

## Тема 2. Кубиты: свойства и математическое описание состояний.

### 2.2. Кубит в гильбертовом векторном пространстве состояний.

#### 2.2. Кубит в гильбертовом векторном пространстве состояний

Состояния  $|0\rangle$  и  $|1\rangle$  служат ортами в двумерном гильбертовом пространстве кубита. Проекции  $|\psi\rangle$  на орты равны амплитудам  $a$  и  $b$  в суперпозиции:

$$\langle 0|\psi\rangle = a, \quad \langle 1|\psi\rangle = b$$

В общем случае амплитуды  $a$  и  $b$  — некоторые комплексные числа:

$$a = |a|\exp(i\varphi_a), \quad b = |ba|\exp(i\varphi_b).$$

Тогда

$$|\psi\rangle = \exp(i\varphi_a)[|a| + |b|\exp(i(\varphi_b - \varphi_a))].$$

Общий фазовый множитель  $\exp(i\varphi_a)$  не влияет на результаты измерений состояния кубита, и фаза  $\varphi_a$  может иметь произвольное значение. Отсюда следует, что вектор  $|\psi\rangle$  определяется двумя вещественными параметрами, например  $|a|$  и  $(\varphi_b - \varphi_a)$ . Значения  $|a|^2$  и  $|b|^2 = 1 - |a|^2$  определяются путем многократного измерения в базисе  $|0\rangle, |1\rangle$  кубитов из ансамбля, приготовленного в состоянии  $|\psi\rangle$ , как вероятности результатов измерений:

$$p(|0\rangle) = |a|^2, \quad p(|1\rangle) = |b|^2.$$

## Тема 2. Кубиты: свойства и математическое описание состояний.

### 2.2. Кубит в гильбертовом векторном пространстве состояний.

#### 2.2. Кубит в гильбертовом векторном пространстве состояний

Разность фаз  $(\varphi_b - \varphi_a)$  амплитуд может быть определена из экспериментов интерференционного типа .

Преобразования вектора

$$|\psi\rangle = \begin{vmatrix} a \\ b \end{vmatrix}$$

в вектор

$$|\psi'\rangle = \begin{vmatrix} a' \\ b' \end{vmatrix}$$

являются однокубитовыми квантовыми операциями в квантовых вычислениях.  
Геометрически такое преобразование есть вращение вектора

$$|\psi\rangle = \begin{vmatrix} a \\ b \end{vmatrix}$$

до совпадения с вектором

$$|\psi'\rangle = \begin{vmatrix} a' \\ b' \end{vmatrix}$$

Оператор вращения  $U$  представляет собой унитарную матрицу второго порядка  $2 \times 2$ :

$$\begin{vmatrix} a' \\ b' \end{vmatrix} = U(2 \times 2) \begin{vmatrix} a \\ b \end{vmatrix}.$$

## Тема 2. Кубиты: свойства и математическое описание состояний.

### 2.2. Кубит в гильбертовом векторном пространстве состояний.

#### 2.2. Кубит в гильбертовом векторном пространстве состояний

Из общего вида матрицы

$$U = \begin{pmatrix} c \exp(-i\alpha) & -t \exp(-i\beta) \\ t \exp(-i\beta) & c \exp(i\alpha) \end{pmatrix}$$

где  $c, t$ ,  $\alpha, \beta$  — вещественные числа, следует ее унитарность, если  $c^2 + t^2 = 1$ .

Вращение вектора в пространстве Гильbertа непрерывно: при своем вращении на конечный угол вектор  $|\psi\rangle$  проходит через непрерывную последовательность промежуточных ориентаций. Матрица поворота на конечный угол представляет собой упорядоченное произведение матриц поворотов на бесконечно малые углы.

**Непрерывность переходов является принципиальным отличием квантовой механики, положенным в основу ее аксиоматической формулировки .**

## Тема 2. Кубиты: свойства и математическое описание состояний.

### 2.2. Кубит в гильбертовом векторном пространстве состояний.

### 2.2. Кубит в гильбертовом векторном пространстве состояний

Кубит "живет" одновременно в абстрактном двумерном векторном пространстве Гильberta и в трехмерном пространстве Евклида. (Аналогичное утверждение справедливо и в отношении квантового компьютера как совокупности кубитов.) Вычислительные операции совершаются в гильбертовом пространстве как преобразования вектора состояния:

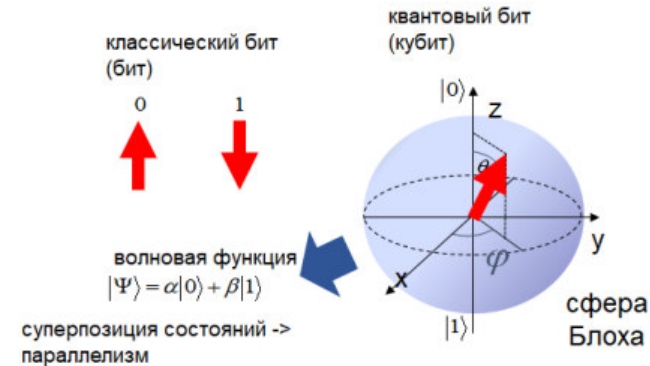
$$|\psi'\rangle = U(2 \times 2)|\psi\rangle$$

Одновременно, физические процессы в квантовой системе, избранной в качестве кубита, описываются в трехмерном евклидовом пространстве. Мы должны уметь выполнять физические операции в лабораторной системе координат  $Oxyz$ , приводящие к необходимому преобразованию вектора состояния кубита в гильбертовом пространстве.

Вектор состояния или волновая функция  $|\psi\rangle$ , описывающая чистое состояние кубита, может быть представлена как суперпозиция двух его базовых состояний  $|0\rangle = \begin{vmatrix} 1 \\ 0 \end{vmatrix}$  и  $|1\rangle = \begin{vmatrix} 0 \\ 1 \end{vmatrix}$ ,

$$|\psi\rangle = a|0\rangle + b|1\rangle, \quad |a|^2 + |b|^2 = 1.$$

Сфера Блоха — способ представления чистых состояний кубита в виде точек на сфере.



## Тема 2. Кубиты: свойства и математическое описание состояний.

### 2.2. Кубит в гильбертовом векторном пространстве состояний.

#### 2.2. Кубит в гильбертовом векторном пространстве состояний

Эту задачу решает следующая теорема .

Матрица произвольного унитарного преобразования кубита  $U$  в гильбертовом пространстве может быть представлена как произведение трех матриц, описывающих вращения вектора состояния:

$$U = \exp(i\alpha) R_n(\beta)R_m(\gamma)R_n(\delta),$$

где  $n, m$  — два непараллельных единичных вектора в системе координат  $Oxyz$ , а  $R_n(\theta)$  — матрица (оператор) вращения вокруг оси  $n$  на угол  $\theta$ .

В условиях реального эксперимента оси  $n, m$  удобно совместить с осями системы координат  $Oxyz$ . Тогда возможны  $zy$ - и  $xy$ -разложения:

$$U = \exp(i\alpha) R_z(\beta)R_y(\gamma)R_z(\delta) \quad (zy\text{-разложение}),$$

$$U = \exp(i\alpha) R_x(\beta)R_y(\gamma)R_x(\delta) \quad (xy\text{-разложение}).$$

Матрицы вращений вокруг осей  $x, y, z$  имеют вид:

$$\begin{aligned} R_x(\varphi) &= \begin{pmatrix} c & -is \\ -is & c \end{pmatrix}, \\ R_y(\varphi) &= \begin{pmatrix} c & -s \\ s & c \end{pmatrix}, \\ R_z(\varphi) &= \begin{pmatrix} c + is & 0 \\ 0 & c - is \end{pmatrix}, \end{aligned} \tag{4}$$

где  $c = \cos(\varphi/2), s = \sin(\varphi/2)$ .

## Тема 2. Кубиты: свойства и математическое описание состояний.

### 2.2. Кубит в гильбертовом векторном пространстве состояний.

#### 2.2. Кубит в гильбертовом векторном пространстве состояний

Подставляя в  $zy$ -разложение матрицы вращений  $\mathbf{R}_z$ ,  $\mathbf{R}_y$  и перемножая матрицы, получаем

$$\begin{aligned} \mathbf{U} &= \exp(i\alpha) \times \\ &\times \begin{pmatrix} \cos \frac{\gamma}{2} \exp\left(-i \frac{\beta+\delta}{2}\right) & -\sin \frac{\gamma}{2} \exp\left(-i \frac{\beta-\delta}{2}\right) \\ \sin \frac{\gamma}{2} \exp\left(i \frac{\beta-\delta}{2}\right) & \cos \frac{\gamma}{2} \exp\left(i \frac{\beta+\delta}{2}\right) \end{pmatrix} \end{aligned} \quad (5)$$

Если задать преобразование  $\mathbf{U}$  в гильбертовом пространстве матрицей

$$\mathbf{U} = \exp(i\alpha) \begin{pmatrix} a \exp(-iu) & -b \exp(-iv) \\ b \exp(-iv) & a \exp(iu) \end{pmatrix} \quad (6)$$

и потребовать тождества матриц (5) и (6), то

$$a = \cos \frac{\gamma}{2}, \quad b = \sin \frac{\gamma}{2}, \quad \delta = \frac{u+v}{2}, \quad \beta = \frac{u-v}{2}. \quad (7)$$

## Тема 2. Кубиты: свойства и математическое описание состояний.

### 2.2. Кубит в гильбертовом векторном пространстве состояний.

#### 2.2. Кубит в гильбертовом векторном пространстве состояний

Таким образом, произвольное преобразование вектора состояния кубита с параметрами согласно (6) может быть выполнено как последовательные вращения этого вектора вокруг осей  $z$ ,  $y$ ,  $z$  лабораторной системы координат на углы  $\delta$ ,  $\gamma$ ,  $\beta$ , согласно (7).

Вращения  $R_x(\theta)$ ,  $R_y(\theta)$ ,  $R_z(\theta)$  вектора состояния  $|\varphi\rangle$  кубита рассматриваются как элементарные однокубитовые вычислительные операции. Их необходимо связать с параметрами физических полей, управляющих динамикой квантовой системы, избранной в качестве кубита. Например, в случае кубита — спина  $I = 1/2$  вращение его вектора состояния в магнитном поле

$$\mathbf{B} = B_0 \mathbf{z} + B_1 \mathbf{x} \cos(\omega t)$$

( $\gamma B_0 \equiv \omega_0$ ,  $\gamma B_1 = \Omega$ ) описывается уравнением:

$$|\varphi(t)\rangle = \exp \left[ i \left( \frac{\omega - \omega_0}{2} Z + \Omega X \right) t \right] |\varphi(0)\rangle. \quad (8)$$

Здесь  $\mathbf{Z}$ ,  $\mathbf{X}$  — матрицы Паули,  $\mathbf{z}$ ,  $\mathbf{x}$  — орты вдоль осей  $z$ ,  $x$  системы координат  $Oxyz$ .

## Тема 2. Кубиты: свойства и математическое описание состояний.

### 2.2. Кубит в гильбертовом векторном пространстве состояний.

#### 2.2. Кубит в гильбертовом векторном пространстве состояний

Уравнение (8) соответствует вращению  $|\varphi\rangle$  вокруг оси  $\mathbf{n} = \frac{\mathbf{z} + \lambda \mathbf{x}}{(1 + \lambda^2)^{\frac{1}{2}}}$

на угол:

$$\theta = \Omega t \left(1 + \frac{1}{\lambda^2}\right)^{1/2}, \quad \lambda = \frac{2\Omega}{\omega_0 - \omega}.$$

При точном резонансе ( $\omega_0 - \omega$ ) ось вращения  $\mathbf{n}$  вектора  $|\varphi\rangle$  совпадает с осью  $\mathbf{x}$ , а угловая скорость вращения — с так называемой частотой Раби  $\Omega$ :

$$\mathbf{n} = \mathbf{x}, \quad \theta = \Omega t.$$

В качестве стандартных однокубитовых операций в квантовых вычислениях часто используют преобразования вектора состояния, выраженные матрицами Паули:

$$\mathbf{R}_x(\pi) \equiv \mathbf{X} = \begin{pmatrix} 0 & 1 \\ 1 & 0 \end{pmatrix},$$

$$\mathbf{R}_y(\pi) \equiv \mathbf{Y} = \begin{pmatrix} 0 & 1 \\ -1 & 0 \end{pmatrix}, \quad (9)$$

$$\mathbf{R}_z(\pi) \equiv \mathbf{Z} = \begin{pmatrix} 1 & 0 \\ 0 & -1 \end{pmatrix}.$$

## Тема 2. Кубиты: свойства и математическое описание состояний.

### 2.2. Кубит в гильбертовом векторном пространстве состояний.

Матрица преобразования с изменением фазы вектора состояния (фазовый вентиль) имеет вид

$$U(\varphi) = \begin{pmatrix} 1 & 0 \\ 0 & \exp(i\varphi) \end{pmatrix} \quad (10)$$

а матрица преобразования Адамара

$$H = \frac{1}{\sqrt{2}} \begin{pmatrix} 1 & 1 \\ 1 & -1 \end{pmatrix} \quad (11)$$

Легко проверить, что

$$H \begin{vmatrix} a \\ b \end{vmatrix} = \begin{vmatrix} b \\ a \end{vmatrix} = \text{NOT} \begin{vmatrix} a \\ b \end{vmatrix}, \quad Z \begin{vmatrix} a \\ b \end{vmatrix} = \begin{vmatrix} a \\ -b \end{vmatrix},$$

$$U(\varphi) \begin{vmatrix} a \\ b \end{vmatrix} = \begin{vmatrix} a \\ b \exp(i\varphi) \end{vmatrix}, \quad (9)$$

$$H |0\rangle = H \begin{vmatrix} 1 \\ 0 \end{vmatrix} = \frac{1}{\sqrt{2}} (|0\rangle + |1\rangle),$$

$$H |1\rangle = H \begin{vmatrix} 0 \\ 1 \end{vmatrix} = \frac{1}{\sqrt{2}} (|0\rangle - |1\rangle).$$

С точностью до общего фазового множителя  $X = \text{NOT} = R_x(\pi)$ : операция отрицания НЕ (NOT) выполняется вращением (поворотом) вектора состояния кубита вокруг оси  $x$  на угол  $\pi$ .

## Тема 2. Кубиты: свойства и математическое описание состояний.

### 2.2. Кубит в гильбертовом векторном пространстве состояний.

#### 2.2. Кубит в гильбертовом векторном пространстве состояний

Приведем также определение скалярного произведения векторов  $|\varphi_i\rangle = a_i|0\rangle + b_i|1\rangle$  и  $|\varphi_j\rangle = a_j|0\rangle + b_j|1\rangle$ :

$$\langle\varphi_j|\varphi_i\rangle = a_j^*a_i + b_j^*b_i.$$

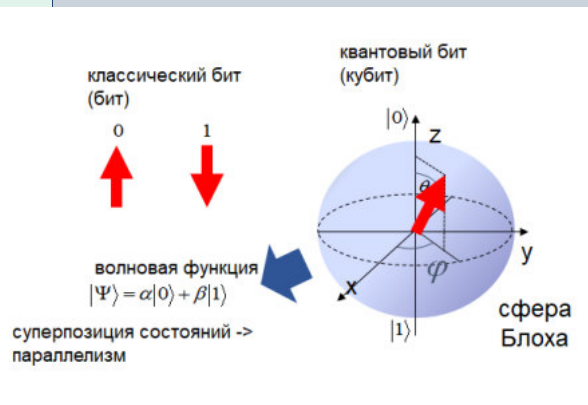
Геометрически оно определяет "угол"  $\theta$  между векторами:  $\cos \theta = \langle\varphi_j|\varphi_i\rangle$ .

Состояние кубита  $= a|0\rangle + b|1\rangle$  может быть отображено в точку на поверхности трехмерной единичной сферы Блоха в евклидовом пространстве. Сферические координаты  $\theta$ ,  $\varphi$  точки на поверхности сферы связаны с амплитудами  $a, b$  равенствами

$$\cos \frac{\theta}{2} = a, \quad \exp(i\varphi) \sin \frac{\theta}{2} = b$$

Таким образом, исходное состояние квантовой системы, состоящей из одного кубита, может быть эквивалентным образом описано с помощью всего лишь двух вещественных параметров — углов  $\phi$  и  $\theta$ :

$$|\psi\rangle = \cos \frac{\theta}{2} |0\rangle + \exp(i\varphi) \sin \frac{\theta}{2} |1\rangle$$



Сфера Блоха является единичной сферой, каждая пара диаметрально противоположных точек которой соответствует взаимно ортогональным векторам состояния. Северный и южный полюсы сферы Блоха соответствуют базисным векторам  $|0\rangle$  и  $|1\rangle$ , которые в свою очередь могут отвечать, например, двум спиновым состояниям электрона («спин вверх» и «спин вниз»). Точки на поверхности сферы соответствуют чистым состояниям квантовой системы, в то время как точки внутри сферы представляют смешанные состояния.

## Тема 2. Кубиты: свойства и математическое описание состояний.

### 2.3. Квантовая когерентность векторов состояния.

#### 1. Квантовая когерентность векторов состояния

Состояния квантовой системы, описываемые векторами состояния  $|\psi\rangle$ , называются чистыми. Им противопоставляются так называемые смешанные состояния, которые нельзя описать векторами состояния. Чистые и смешанные состояния квантовых систем принципиально различаются по признаку когерентности: чистые состояния когерентны, смешанные — некогерентны.

Понятие когерентности в квантовой физике определяется аналогично понятию когерентности в оптике: волновые функции (векторы состояния) квантово-когерентных систем способны к интерференции. Знаменитый эксперимент Дэвиссона — Джермера, проведённый в 1927 году по наблюдению дифракции электронов на двух щелях по сути является экспериментом по выявлению квантовой когерентности орбитальной волновой функции  $|\psi(r)\rangle$  свободного электрона. Мы продемонстрируем когерентность волновой функции одиночного фотона на интерферометре Маха-Зендера. Схема интерферометра приведена на рис. 4.



Фотоны или элементарные частицы (например, электроны) создают волновую интерференционную картину, когда используются две щели

9)

## Тема 2. Кубиты: свойства и математическое описание состояний.

### 2.3. Квантовая когерентность векторов состояния.

#### 1. Квантовая когерентность векторов состояния

Волновую функцию фотона, падающего на делитель  $BS_1$  горизонтально (вертикально), примем за базисное состояние  $|0\rangle$  ( $|1\rangle$ ). Делитель пучка 50/50 отражает или пропускает фотоны с равными амплитудами  $1/\sqrt{2}$ . В интерферометре отраженный и прошедший фотон приобретают возможность двигаться по разным путям, т.е. фотон приобретает новую степень свободы.

Введем новые базисные состояния фотона  $|0\rangle$  и  $|1\rangle$ , соответствующие движению по двум возможным путям. С учетом разности фаз  $\pi/2$  между отраженным и прошедшим волнами делитель пучка  $BS_1$  совершает преобразования состояний  $|0\rangle$  и  $|1\rangle$  на входе делителя:

$$|0\rangle \xrightarrow{BS_1} \frac{1}{\sqrt{2}}(|0\rangle + |1\rangle), \quad |1\rangle \xrightarrow{BS_1} \frac{1}{\sqrt{2}}(|0\rangle - |1\rangle), \quad (12)$$

эквивалентные преобразованию Адамара:

$$H = \frac{1}{\sqrt{2}} \begin{pmatrix} 1 & 1 \\ 1 & -1 \end{pmatrix}$$

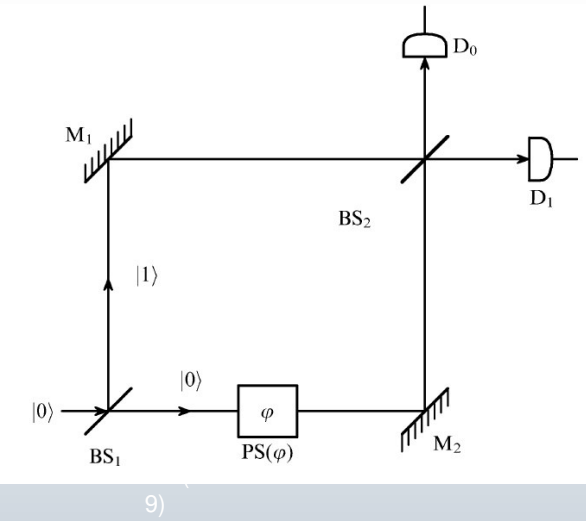


Рис. 4. Схема интерференции фотона в интерферометре Маха-Зендера:  $BS_1$ ,  $BS_2$  — делители пучка 50/50;  $M_1$ ,  $M_2$  — зеркала;  $PS(\varphi)$  — фазосдвигатель;  $D_1$ ,  $D_2$  — детекторы одиночных фотонов. Интерференция выявляет квантовую когерентность состояния фотона.

## Тема 2. Кубиты: свойства и математическое описание состояний.

### 2.3. Квантовая когерентность векторов состояния.

#### 1. Квантовая когерентность векторов состояния

Интерференция амплитуд состояний является типичным процессом в квантовых вычислениях. Продемонстрируем это на примере простого вычисления на двух кубитах в начальном состоянии  $|00\rangle$  (первый и второй нули отвечают состояниям первого и второго кубитов). Вычисления заключаются в последовательности операций  $H_1 H_2 H_1 \text{NOT}_1$ :

$$\begin{aligned} |00\rangle &\xrightarrow{\text{NOT}_1} |10\rangle \xrightarrow{H_1} \frac{1}{\sqrt{2}} (|0_1\rangle - |1_1\rangle) |0_2\rangle \xrightarrow{H_2} \\ &\xrightarrow{H_2} \frac{1}{2} (|0_1\rangle - |1_1\rangle)(|0_2\rangle - |1_2\rangle) \xrightarrow{H_1} \\ &\xrightarrow{H_1} \frac{1}{2\sqrt{2}} [|00\rangle(1-1) + |10\rangle(1+1) + |01\rangle(-1+1) + |11\rangle(1+1)]. \end{aligned} \quad (9)$$

Суммы амплитуд при состояниях  $|00\rangle$  и  $|01\rangle$  равны нулю, поскольку интерференция амплитуд деструктивная, тогда как для амплитуд при  $|10\rangle$  и  $|11\rangle$  наблюдается конструктивная интерференция.

## Тема 2. Кубиты: свойства и математическое описание состояний.

### 2.3. Квантовая когерентность векторов состояния.

#### 1. Квантовая когерентность векторов состояния

Интерференция амплитуд состояний является типичным процессом в квантовых вычислениях. Продемонстрируем это на примере простого вычисления на двух кубитах в начальном состоянии  $|00\rangle$  (первый и второй нули отвечают состояниям первого и второго кубитов). Вычисления заключаются в последовательности операций  $H_1 H_2 H_1 \text{NOT}_1$ :

$$\begin{aligned} |00\rangle &\xrightarrow{\text{NOT}_1} |10\rangle \xrightarrow{H_1} \frac{1}{\sqrt{2}} (|0_1\rangle - |1_1\rangle) |0_2\rangle \xrightarrow{H_2} \\ &\xrightarrow{H_2} \frac{1}{2} (|0_1\rangle - |1_1\rangle)(|0_2\rangle - |1_2\rangle) \xrightarrow{H_1} \\ &\xrightarrow{H_1} \frac{1}{2\sqrt{2}} [|00\rangle(1-1) + |10\rangle(1+1) + |01\rangle(-1+1) + |11\rangle(1+1)]. \end{aligned} \quad (9)$$

Суммы амплитуд при состояниях  $|00\rangle$  и  $|01\rangle$  равны нулю, поскольку интерференция амплитуд деструктивная, тогда как для амплитуд при  $|10\rangle$  и  $|11\rangle$  наблюдается конструктивная интерференция.